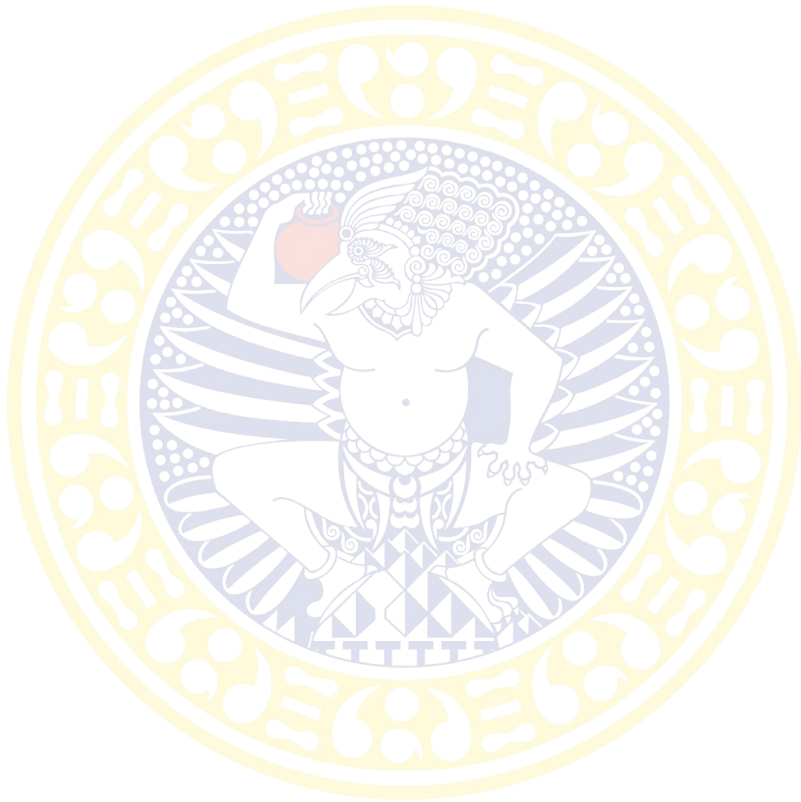


DAFTAR ISI

| | |
|---|-------------|
| LEMBAR JUDUL | i |
| LEMBAR PERNYATAAN | ii |
| LEMBAR PENGESAHAN | iii |
| PEDOMAN PENGGUNAAN SKRIPSI | iv |
| KATA PENGANTAR..... | v |
| ABATRAK..... | vii |
| ABSTRACT | viii |
| DAFTAR ISI..... | ix |
| DAFTAR TABEL | xii |
| DAFTAR GAMBAR..... | xiii |
| DAFTAR LAMPIRAN | xiv |
| | |
| BAB I PENDAHULUAN | 1 |
| 1.1 Latar Belakang Permasalahan | 1 |
| 1.2 Rumusan Masalah | 3 |
| 1.3 Tujuan Penelitian..... | 3 |
| 1.4 Manfaat Penelitian..... | 4 |
| | |
| BAB II TINJAUAN PUSTAKA..... | 5 |
| 2.1 <i>Dye Sensitized Solar Cell (DSSC)</i> | 5 |
| 2.2 <i>Dye Senstizer</i> | 7 |
| 2.3 Senyawa Kompleks Co(II)- <i>naphtol blue black</i> | 7 |
| 2.4 Karakterisasi DSSC | 9 |
| 2.4.1 Spektrofotometer UV-Vis..... | 9 |
| 2.4.2 FT-IR (<i>Fourier Transform Infrared spectroscopy</i>) | 10 |
| 2.4.3 Karakterisasi <i>Magnetic Susceptibility Balance</i> (MSB) | 11 |
| 2.4.4 Uji daya hantar listrik menggunakan konduktometer..... | 12 |
| 2.4.5 Karakterisasi TiO ₂ menggunakan <i>X-Ray Diffraction</i> | 12 |
| 2.4.6 Pengukuran kurva I-V DSSC..... | 13 |
| | |
| BAB III METODE PENELITIAN | 15 |
| 3.1 Waktu dan Tempat Penelitian | 15 |
| 3.2 Alat dan Bahan | 15 |
| 3.2.1 Alat..... | 15 |
| 3.2.2 Bahan | 15 |
| 3.3 Diagram Alir Penelitian..... | 17 |
| 3.4 Prosedur Kerja | 18 |
| 3.4.1 Pembuatan larutan induk <i>naphtol blue black</i> 10 ⁻³ M..... | 18 |
| 3.4.2 Pembuatan larutan induk Co(II) 10 ⁻³ M..... | 18 |
| 3.4.3 Pembuatan larutan kerja <i>naphtol blue black</i> 10 ⁻⁵ M | 18 |
| 3.4.4 Pembuatan larutan kerja Co(II) 10 ⁻⁵ M..... | 18 |
| 3.4.5 Penentuan perbandingan stoikiometri senyawa kompleks Co(II)- <i>naphtol blue black</i> | 18 |
| 3.4.6 Sintesis senyawa kompleks Co(II)- <i>naphtol blue black</i> | 19 |

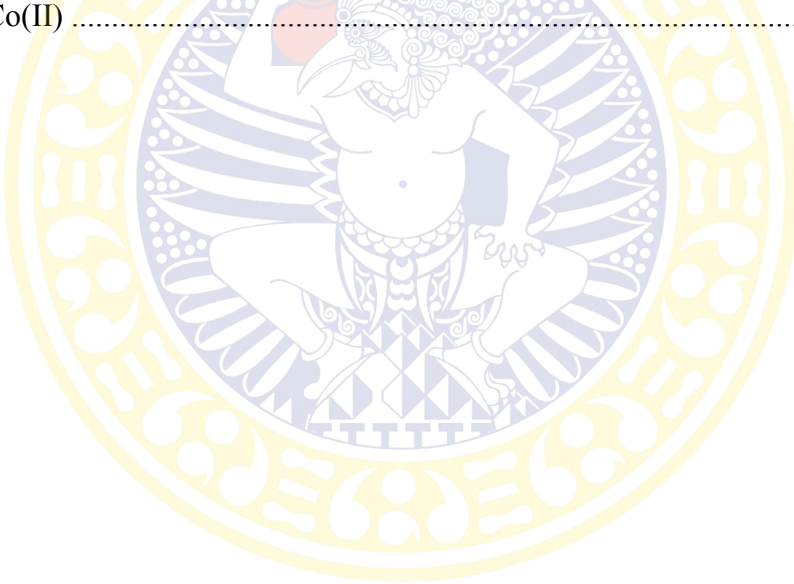
| | |
|--|-----------|
| 3.4.7 Karakterisasi Senyawa Kompleks Co(II)- <i>naphthol blue black</i> | 20 |
| 3.4.7.1 Karakterisasi dengan spektrofotometer UV-Vis | 20 |
| 3.4.7.2 Karakterisasi dengan <i>Fourier Transform Infrared Spectroscopy</i> (FT-IR) | 20 |
| 3.4.7.3 Karakterisasi dengan <i>Magnetic Susceptibility Balance</i> (MSB)..... | 20 |
| 3.4.7.4 Karakterisasi dengan konduktometer | 20 |
| 3.4.8 Preparasi <i>Dye Sensitized Solar Cell</i> (DSSC) | 21 |
| 3.4.8.1 Pembuatan sol TiO ₂ dengan surfaktan..... | 21 |
| 3.4.8.2 Pembuatan sol TiO ₂ tanpa surfaktan..... | 21 |
| 3.4.8.3 Pelapisan sol TiO ₂ pada pelat gelas..... | 21 |
| 3.4.8.4 Karakterisasi TiO ₂ hasil pelapisan dengan <i>X-Ray Diffraction</i> (XRD) | 22 |
| 3.4.8.5 Pembuatan elektroda kerja | 22 |
| 3.4.8.6 Pembuatan elektroda pembanding..... | 22 |
| 3.4.8.7 Karakterisasi ikatan antara TiO ₂ dengan senyawa kompleks Co(II)- <i>naphthol blue black</i> dengan spektrofotometer FT-IR..... | 22 |
| 3.4.9 Perangkaian sel DSSC | 22 |
| 3.4.10 Pengukuran arus dan tegangan | 23 |
| 3.4.11 Pembuatan kurva arus dan tegangan | 23 |
| BAB IV HASIL DAN PEMBAHASAN | 24 |
| 4.1 Sintesis Senyawa Kompleks Co(II)- <i>naphthol blue black</i> | 24 |
| 4.2 Karakterisasi Senyawa Kompleks Co(II)- <i>naphthol blue black</i> menggunakan Spektrofotometer UV-Vis..... | 27 |
| 4.3 Karakterisasi Senyawa Kompleks Co(II)- <i>naphthol blue black</i> menggunakan Spektrofotometer FT-IR | 27 |
| 4.4 Karakterisasi Senyawa Kompleks Co(II)- <i>naphthol blue black</i> menggunakan MSB..... | 29 |
| 4.5 Pengukuran Daya Hantar Listrik Senyawa Kompleks Co(II)- <i>naphthol blue black</i> menggunakan Konduktometer | 30 |
| 4.6 Pembuatan TiO ₂ dari Prekursor TTIP | 31 |
| 4.6.1 Pembuatan Sol TiO ₂ dengan menggunakan Triton-X | 31 |
| 4.6.2 Pembuatan Sol TiO ₂ tanpa menggunakan Triton-X | 31 |
| 4.7 Pelapisan TiO ₂ pada pelat gelas | 31 |
| 4.8 Karakterisasi sol-gel TiO ₂ dengan XRD | 32 |
| 4.9 Pembuatan Elektroda Kerja dan Elektroda Pembanding | 34 |
| 4.10 Karakterisasi TiO ₂ hasil rendaman dengan Spektrofotometer FT-IR..... | 35 |
| 4.11 Aplikasi senyawa kompleks Co(II)- <i>naphthol blue black</i> | 36 |
| 4.11.1 Perangkaian sel DSSC | 36 |
| 4.11.2 Hasil pengukuran hari terhadap arus dan tegangan pada sel DSSC..... | 36 |

| | |
|--|-----------|
| 4.11.3 Pengukuran efisiensi sel DSSC dengan rangkaian potensiometer..... | 38 |
| BAB V KESIMPULAN DAN SARAN | 40 |
| 5.1 Kesimpulan..... | 40 |
| 5.2 Saran | 40 |
| DAFTAR PUSTAKA..... | 41 |
| LAMPIRAN | |



DAFTAR TABEL

| Nomor | Judul | Halaman |
|-------|---|---------|
| 3.1 | Komposisi perbandingan logam dan ligan..... | 19 |
| 4.1 | Data panjang gelombang maksimum senyawa kompleks, ligan dan logam | 27 |
| 4.2 | Momen magnet hasil pengukuran logam, ligan dan senyawa kompleks..... | 29 |
| 4.3 | Hasil pengukuran konduktansi pelarut akuabides dan senyawa kompleks Ni(II)- <i>rhodamine B</i> | 30 |
| 4.4 | Perbandingan nilai 2θ dan d (\AA) puncak difraktogram hasil sintesis dengan kartu interpretasi kristal TiO_2 tanpa Triton-X | 33 |
| 4.5 | Perbandingan nilai 2θ dan d (\AA) puncak difraktogram hasil sintesis dengan kartu interpretasi kristal TiO_2 dengan Triton-X | 33 |
| 4.6 | Arus, tegangan dan efisiensi beberapa DSSC dengan kompleks Co(II) | 38 |



DAFTAR GAMBAR

| Nomor | Judul | Halaman |
|--------------|---|----------------|
| 2.1 | Susunan komponen DSSC | 5 |
| 2.2 | Proses kerja DSSC | 6 |
| 2.3 | Struktur <i>naphtol blue black</i> | 8 |
| 2.4 | Spektrum absorbansi kompleks <i>dye ruthenium</i> | 10 |
| 2.5 | Spektrum infrared EDTA dan Ni-EDTA..... | 11 |
| 2.6 | Kurva I-V | 13 |
| 3.1 | Proses pelapisan sol TiO ₂ pada pelat gelas | 21 |
| 3.2 | Proses perangkaian sel DSSC | 23 |
| 4.1 | Grafik penentuan perbandingan stoikiometri..... | 25 |
| 4.2 | Struktur oktaedral senyawa kompleks Co(II)- <i>naphtol blue black</i> | 26 |
| 4.3 | Co(II)- <i>naphtol blue black</i> hasil sintesis | 26 |
| 4.4 | Spektra FT-IR <i>naphtol blue black</i> dan Co(II)- <i>naphtol blue black</i> | 28 |
| 4.5 | Sol TiO ₂ | 31 |
| 4.6 | Hasil pelapisan sol TiO ₂ pada pelat gelas | 32 |
| 4.7 | Difraktogram TiO ₂ dengan surfaktan | 32 |
| 4.8 | Difraktogram TiO ₂ tanpa surfaktan..... | 33 |
| 4.9 | Elektroda kerja dan elektroda pembanding..... | 34 |
| 4.10 | Spektra FT-IR hasil karakterisasi TiO ₂ dengan senyawa kompleks..... | 35 |
| 4.11 | Sel DSSC | 36 |
| 4.12 | Grafik hubungan daya terhadap hari..... | 37 |
| 4.13 | Kurva tegangan terhadap arus sel DSSC | 38 |

DAFTAR LAMPIRAN

| Nomor | Judul |
|--------------|---|
| 1 | Spektrum UV-Vis |
| 2 | Stoikiometri dengan Metode Perbandingan Mol |
| 3 | Spektrum FTIR |
| 4 | Penentuan Nilai Momen Kemagnetan menggunakan MSB |
| 5 | Difraktogram TiO ₂ |
| 6 | Analisis Daya Hantar Listrik Senyawa Kompleks Co(II)- <i>naphtol blue black</i> dengan Konduktometer |
| 7 | Karakterisasi TiO ₂ menggunakan <i>Fourier Transform Infrared</i> (FT-IR) |
| 8 | Pengukuran Arus dan Tegangan |
| 9 | Pengukuran tegangan terhadap arus |
| 10 | Pengukuran efisiensi sel DSSC dengan elektroda kerja kaca berlapis TiO ₂ - <i>naphtol blue black</i> |